

05;06;09

## Многощелевые линии передачи сверхвысоких частот на основе структуры сегнетоэлектрическая пленка–диэлектрическая подложка

© И.Г. Мироненко, А.А. Иванов

Санкт-Петербургский государственный электротехнический университет ЛЭТИ,  
197376 Санкт-Петербург, Россия,  
e-mail: mit@eltech.ru, MironencolG@ramber.ru, iva@solaris.ru.

(Поступило в Редакцию 25 января 2001 г.)

Выполнен полноволновый расчет дисперсионных характеристик многощелевых линий передачи сверхвысоких частот на многослойной структуре, включающей в себя сегнетоэлектрическую пленку, и найдено затухание, вызванное конечной проводимостью в металлических электродах.

### Введение

Структура, образованная сегнетоэлектрической пленкой, нанесенной на диэлектрическую подложку, представляет собой основу для планарных линий передачи сверхвысоких частот (СВЧ): щелевой и копланарной линий [1–3]. Возможность построения устройств с электрически перестраиваемыми характеристиками с использованием этих линий связана прежде всего с возможностью изменения диэлектрической проницаемости сегнетоэлектрической пленки  $\epsilon$  внешним электрическим полем. Для большинства сегнетоэлектрических материалов изменение  $\epsilon$  в 1.5–2 раза происходит при напряженности электрического поля 2–3 кВ/мм. Таким образом, щели в линиях должны быть достаточно узкими с тем, чтобы управляющее напряжение, прикладываемое к электродам линии, было малым. Но в этом случае возрастают потери, вызванные конечной проводимостью электродов линии [1–3]. Разрешить это противоречие можно в планарной волноведущей структуре, которую в дальнейшем будем называть многощелевой линией передачи СВЧ. В такой линии узкие электроды, расположенные между краями "широкой" щели на поверхности сегнетоэлектрической пленки, выполняют одновременно электродинамическую функцию, обеспечивая канализацию электромагнитной энергии вдоль щелевой структуры, и функцию электродов управления, формируя по всей ширине "широкой" щели требуемую напряженность электрического поля управления в пределах узких зазоров между ними.

Целью настоящей работы является анализ дисперсионных характеристик и затухания в таких многощелевых волноведущих структурах.

### Постановка задачи. Обоснование электродинамической модели

На рис. 1 представлено поперечное сечение рассматриваемой волноведущей структуры. Выбор электродинамической модели должен быть сделан в пользу полноволновой модели. Несмотря на ее относительно сложный

характер, она обладает высокой степенью адекватности реальной структуре. Основной мод электромагнитного поля имеет гибридный характер ( $E_z \neq 0$  и  $H_z \neq 0$ ). Для его описания необходимо ввести два скалярных потенциала. Например, электрический и магнитный векторы Герца, ориентированные вдоль одной из осей ( $Z$  или  $Y$ ). Задание векторов Герца вдоль оси  $Y$  предпочтительно, так как порождаемые ими поля  $LE$ - и  $LM$ -типов оказываются связанными токами, протекающими по электродам на последнем этапе анализа при наложении граничных условий в плоскости  $y = 0$ . В отсутствие электродов структура (рис. 1) представляет собой послойно-неоднородный волновод между проводящими плоскостями, в котором естественным базисом являются  $LE$ - и  $LM$ -волны, связанные в гибридной моде токами на электродах.

Как известно, анализ дисперсионных характеристик и затухания в планарных волноведущих структурах рассматриваемого типа сводится к решению интегральных уравнений относительно распределения токов на электродах либо электрического поля на щелях. Эффективной процедурой решения уравнений является метод Галеркина, не уступающий по точности другим методам решения интегральных уравнений. Поэтому в работе использован метод Галеркина на заключительном этапе анализа.

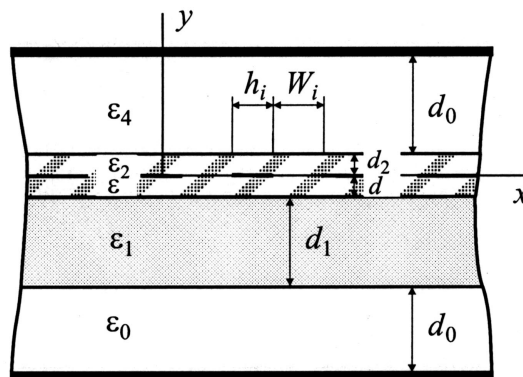


Рис. 1. Поперечное сечение многощелевой планарной структуры.

## Основные этапы решения

1. Нахождение скалярных потенциалов. Зададим магнитный и электрический потенциалы в виде

$$\mathbf{A} = \mathbf{e}_x \varphi(x, y) \exp(-j(\gamma z - \omega t)),$$

$$\mathbf{F} = \mathbf{e}_y \Psi(x, y) \exp(-j(\gamma z - \omega t)),$$

где  $\gamma$  — постоянная распространения.

Оба потенциала являются решением волнового уравнения в каждой области поперечного сечения структуры. Перейдем к Фурье-образам (ФО) потенциалов

$$\left\{ \begin{array}{l} \bar{\varphi}(y, s) \\ \bar{\Psi}(y, s) \end{array} \right\} = \int_{-\infty}^{+\infty} \left\{ \begin{array}{l} \varphi(x, y) \\ \Psi(x, y) \end{array} \right\} \exp(-jsx) dx.$$

ФО  $\bar{\varphi}(y, s)$  и  $\bar{\Psi}(y, s)$  удовлетворяют в каждой области поперечного сечения однородному уравнению

$$(\partial^2/\partial y^2 + \alpha_i^2) \left\{ \begin{array}{l} \bar{\varphi}_i(y, s) \\ \bar{\Psi}_i(y, s) \end{array} \right\} = 0, \quad (1)$$

где  $\alpha_i^2 = (\gamma^2 + s^2 - k^2 \varepsilon_i)$ ,  $k^2 = \omega^2 \varepsilon_0 \mu_0$ ,  $i$  — соответствующая область на рис. 1.

Решение уравнения (1) в  $i$ -й области имеет вид

$$\begin{aligned} \bar{\varphi}_i(y, s) &= A_i(s) \text{sh}(\alpha_i y) + B_i(s) \text{ch}(\alpha_i y), \\ \bar{\Psi}_i(y, s) &= C_i(s) \text{sh}(\alpha_i y) + D_i(s) \text{ch}(\alpha_i y). \end{aligned} \quad (2)$$

Граничные условия для ФО потенциалов очевидно те же, что и для электродинамических потенциалов: на идеально проводящих плоскостях  $\partial \bar{\varphi}(y, s)/\partial y = 0$ ,  $\bar{\Psi}(y, s) = 0$ , на границах диэлектрических слоев непрерывны ФО и их нормальные производные  $(\partial \bar{\varphi}(y, s)/\partial y)(1/\varepsilon)$ ,  $\partial \bar{\Psi}(y, s)/\partial y$ . Очевидно, что, используя (2) и граничные условия, можно найти скалярные функции  $\bar{\varphi}(y, s)$  и  $\bar{\Psi}(y, s)$  с точностью до произвольных коэффициентов. Представим их для разных областей

$$\begin{aligned} y \geq 0: \quad & \bar{\varphi}^{(+)}(y, s) = B^m(s) A^{(+)}(y, s); \\ & \bar{\Psi}^{(+)}(y, s) = B^e(s) F^{(+)}(y, s); \\ y \leq 0: \quad & \bar{\varphi}^{(-)}(y, s) = B_1^m(s) A^{(-)}(y, s); \\ & \bar{\Psi}^{(-)}(y, s) = B_1^e(s) F^{(-)}(y, s), \end{aligned} \quad (3)$$

$B^m(s), \dots, B_1^e(s)$  — произвольные функции;  $A^{(+)}(y, s)$ ,  $F^{(+)}(y, s)$ ,  $A^{(-)}(y, s)$ ,  $F^{(-)}(y, s)$  — известные функции, соотношения для которых приведены в Приложении.

Таким образом, соотношения (3) определяют ФО скалярных потенциалов с точностью до произвольных коэффициентов.

2. Получение интегральных уравнений. Методика получения интегральных уравнений базируется на выполнении граничных условий для ФО касательных составляющих напряженности электрического

и магнитного поля в плоскости  $y = 0$ . Запишем соотношения для ФО составляющих поля, которые непосредственно следуют из уравнений Максвелла

$$\bar{H}_x(y, s) = j\gamma \bar{\varphi}(y, s) + (s/\omega \mu_0)(\partial \bar{\Psi}(y, s)/\partial y),$$

$$\bar{E}_x(y, s) = (s/\omega \varepsilon_0 \varepsilon)(\partial \bar{\varphi}(y, s)/\partial y) - j\gamma \bar{\Psi}(y, s),$$

$$\bar{H}_z(y, s) = js \bar{\varphi}(y, s) - (\gamma/\omega \mu_0)(\partial \bar{\Psi}(y, s)/\partial y),$$

$$\bar{E}_z(y, s) = -(\gamma/\omega \varepsilon_0 \varepsilon)(\partial \bar{\varphi}(y, s)/\partial y) - js \bar{\Psi}(y, s). \quad (4)$$

Касательные  $E_x$  и  $E_z$ , как и их ФО, непрерывны на ширине каждой щели

$$\bar{E}_z^{(+)}(0, s) = \bar{E}_z^{(-)}(0, s), \quad \bar{E}_x^{(+)}(0, s) = \bar{E}_x^{(-)}(0, s). \quad (5)$$

Другими словами, соотношение (5) должно быть выполнено в плоскости  $y = 0$ . Используя соотношения (3), (4), запишем пару уравнений в соответствии с (5) и исключим из них две неизвестные функции. Найдем, что

$$B_1^m(s) = B^m(\varepsilon/\varepsilon_2) \left( \left[ A^{(+)}(0, s) \right] / \left[ A^{(-)}(0, s) \right] \right),$$

$$B_1^e(s) = B^e(s) \left( \left[ F^{(+)}(0, s) \right] / \left[ F^{(-)}(0, s) \right] \right), \quad (6)$$

где  $[A^\pm(0, s)] = \partial A^\pm(y, s)/\partial y|_{y=0}$ .

На основании соотношений (3), (4) и (6) найдем выражения для  $\bar{E}_x$  и  $\bar{E}_z$  в плоскости  $y = 0$

$$\begin{aligned} \bar{E}_x(y, s) &= (s/\omega \varepsilon_0 \varepsilon_2)(B^m(s)/[A^{(+)}(0, s)]) \\ &\quad - j\gamma B^e F^{(+)}(y, s), \end{aligned} \quad (7)$$

$$\begin{aligned} \bar{E}_z(y, s) &= -(\gamma/\omega \varepsilon_0 \varepsilon_2)(B^m(s)/[A^{(+)}(0, s)]) \\ &\quad - js B^e F^{(+)}(y, s). \end{aligned} \quad (8)$$

Полученные соотношения не связаны с топологией электродов и являются ФО составляющих электрического поля в плоскости  $y = 0$ .

Известно, что сходимость метода Галеркина тем лучше, чем "уже" область определения неизвестных функций. В рассматриваемой структуре такими областями являются щели между электродами. Поэтому целесообразно найти интегральные уравнения относительно полей на щелях. Граничные условия на электродах при конечной проводимости металла ( $\sigma$ ) связаны с током на электродах. Будем считать электроды непрозрачными для поля, но бесконечно тонкими. В этом случае на электродах возникает разрыв касательного магнитного поля, равный поверхностному току на электродах  $j_s$ , т. е. граничное условие на проводящих электродах (плоскость  $y = 0$ ) может быть записано в виде

$$\left[ \mathbf{e}_y \left( \bar{\mathbf{H}}^{(+)}(x, 0) - \bar{\mathbf{H}}^{(-)}(x, 0) \right) \right] = \mathbf{j}_s. \quad (9)$$

Введем поверхностное сопротивление металла электродов  $Z_s = (1 + j)\sqrt{\omega\mu_0/2\sigma}$  и запишем выражение (9) в эквивалентной форме для поля на электродах линии

$$\dot{\mathbf{E}}(x, 0) = Z_s \left[ \mathbf{e}_y \left( \dot{\mathbf{H}}^{(+)}(x, 0) - \dot{\mathbf{H}}^{(-)}(x, 0) \right) \right]. \quad (10)$$

В соответствии с соотношением (10) представим ФО компоненты  $\dot{E}_x$  напряженности электрического поля в плоскости  $y = 0$  в виде

$$\begin{aligned} \bar{E}_x(0, s) &= \int_{-\infty}^{+\infty} \dot{E}_x(x, 0) \exp(-jsx) dx \\ &= Z_s \int_{-\infty}^{edge\ slot} \left( \dot{H}_z^{(+)}(x, 0) - \dot{H}_z^{(-)}(x, 0) \right) \exp(-jsx) dx \\ &+ \sum_{by\ slot} \int \dot{E}_x(x, 0) \exp(-jsx) dx \\ &+ \sum_{by\ electrdes} \int \left( \dot{H}_z^{(+)}(x, 0) - \dot{H}_z^{(-)}(x, 0) \right) \exp(-jsx) dx \\ &+ Z_s \int_{edge\ slot}^{+\infty} \left( \dot{H}_z^{(+)}(x, 0) - \dot{H}_z^{(-)}(x, 0) \right) \exp(-jsx) dx. \end{aligned} \quad (11)$$

Учитывая непрерывность  $\dot{H}_z$  на щелях, соотношение (11) можно представить в виде

$$\bar{E}_x(0, s) = Z_s \left( \dot{H}_z^{(+)}(0, s) - \dot{H}_z^{(-)}(0, s) \right) + \sum_{by\ slots} q_i(s). \quad (12)$$

Аналогичное соотношение может быть получено для  $\bar{E}_z(0, s)$

$$\bar{E}_z(0, s) = Z_s \left( \dot{H}_x^{(+)}(0, s) - \dot{H}_x^{(-)}(0, s) \right) + \sum_{by\ slot} g_1(s). \quad (13)$$

В этих соотношениях

$$q_i(s) = \int_{i-slot} E_x(x, 0) \exp(-jsx) dx,$$

$$g_i(s) = \int_{i-slot} E_z(x, 0) \exp(-jsx) dx.$$

Левая часть соотношений (12) и (13) известна из соотношений (7) и (8), ФО составляющих магнитного поля могут быть найдены из соотношений (3) и уравнений (4). Поэтому, используя соотношения (12) и (13), найдем оставшуюся пару неизвестных коэффициентов  $B_1^m$  и  $B_1^e$ , выразив их через распределение поля на щелях. Найдем,

что

$$\begin{aligned} B^m &= \omega\epsilon_0\epsilon_2 \left( \left( -\gamma \sum_i g_i(s) + s \sum_i q_i(s) \right) / \right. \\ &\quad \left. / \left( (\gamma^2 + s^2) [A^{(+)}(0, s)] \xi^m \right) \right), \\ B^e &= j \left( \left( \gamma \sum_i q_i(s) + s \sum_i g_i(s) \right) / \right. \\ &\quad \left. / \left( (\gamma^2 + s^2) \cdot F^{(+)}(0, s) \xi^e \right) \right), \end{aligned} \quad (14)$$

где

$$\xi^e = 1 + (Z_s/120\pi k)G(s), \quad \xi^m = 1 - (Z_s/120\pi)k\epsilon_2 P(s),$$

$$G(s) = \left( [F^{(+)}(0, s)] / F^{(+)}(0, s) \right)$$

$$- \left( [F^{(-)}(0, s)] / F^{(-)}(0, s) \right),$$

$$P(s) = \left( A^{(+)}(0, s) / [A^{(+)}(0, s)] \right)$$

$$- (\epsilon/\epsilon_2) \left( [A^{(-)}(0, s)] / A^{(-)}(0, s) \right).$$

Выполнив условие непрерывности ФО касательных составляющих магнитного поля на щелях

$$H_x^{(+)}(0, s) = H_x^{(-)}(0, s), \quad H_z^{(+)}(0, s) = H_z^{(-)}(0, s),$$

получим уравнения

$$j\gamma [A^{(+)}(0, s)] P(s) B^m + (s\omega\mu_0) F^{(+)}(0, s) G(s) B^e = 0,$$

$$js [A^{(+)}(0, s)] P(s) B^m + (\gamma/\omega\mu_0) F^{(+)}(0, s) G(s) B^e = 0. \quad (15)$$

Подставим в уравнение (15) соотношения (14) и после преобразований получим

$$f_{11}(s, \dot{\gamma}) \sum_i q_i(s) + f_{12}(s, \dot{\gamma}) \sum_i g_i(s) = 0,$$

$$\dot{\gamma} s f_{21}(s, \dot{\gamma}) \sum_i q_i(s) + f_{22}(s, \dot{\gamma}) \sum_i g_i(s) = 0, \quad (16)$$

где

$$f_{11}(s, \dot{\gamma}) = (k^2 s^2 P(s) \xi^e - \dot{\gamma}^2 G(s) \xi^m) / ((\dot{\gamma}^2 + s^2) \xi^e \xi^m),$$

$$f_{12}(s, \dot{\gamma}) = f_{21}(s, \dot{\gamma})$$

$$= - (k^2 P(s) \xi^e + G(s) \xi^m) / ((\dot{\gamma}^2 + s^2) \xi^e \xi^m),$$

$$f_{22}(s, \dot{\gamma}) = (k^2 \dot{\gamma}^2 P(s) \xi^e - s^2 G(s) \xi^e) / ((\dot{\gamma}^2 + s^2) \xi^e \xi^m),$$

$$\dot{\gamma} = \gamma' - j\gamma''.$$

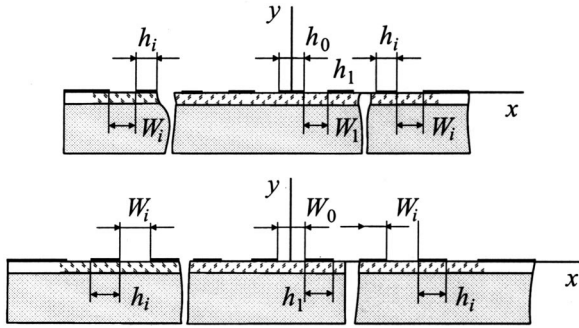


Рис. 2. Поперечное сечение многощелевой планарной структуры с четным и нечетным числом щелей.

Уравнения (16) представляют собой систему интегральных уравнений относительно распределений компонент электрического поля на щелях.

3. Решение интегральных уравнений. Методика решений интегральных уравнений известна. Составляющие электрического поля  $\dot{E}_x$  и  $\dot{E}_z$  на щелях представляются разложением по полиномам Чебышева первого и второго рода, весовые функции которых отвечают условию на бесконечно тонком ребре [4,5].

Вычислим интегралы  $q_i(s)$  и  $g_i(s)$ , входящие в уравнение (16). Будем считать, что симметрично расположенные относительно плоскостей симметрии (магнитной для четного числа щелей и электрической для нечетного числа щелей) щели и электроды имеют одинаковые размеры (рис. 2). В этом случае в структуре основного мода  $E_x$  и  $E_z$  на симметричных щелях одинаковы. Обозначим центр  $i$ -й щели  $x_{0i}$  и найдем, что

$$q_i(s) = 2 \int_{-w_i/2}^{w_i/2} E_{x,i}(x, 0) \cos(x_{0,i}, s) \exp(-jsx) dx,$$

$$g_i(s) = 2 \int_{-w_i/2}^{w_i/2} E_{z,i}(x, 0) \cos(x_{0,i}, s) \exp(-jsx) dx. \quad (17)$$

Известно, что интегралы от полиномов Чебышева вычисляются точно [5]. Воспользуемся этими результатами и запишем (17) в виде

$$q_i(s) = 2 \sum_{n=0,1} (-1)^n a_n^{(i)} J_{2n}(s \cdot w_i/2) \cos(x_{0,i}, s),$$

$$g_i(s) = 2j \sum_{m=1} (-1)^{m+1} b_m^{(i)} 2m \times (J_{2m}(s w_i/2) / s w_i/2) \cos(x_{0,i}, s), \quad (18)$$

где  $J_v(z)$  — функция Бесселя;  $a_n^{(i)}$  и  $b_m^{(i)}$  — коэффициенты разложения  $E_x(x, 0)$  и  $E_z(x, 0)$  по полиномам Чебышева на  $i$ -й щели.

Подставим (18) в уравнение (16), получим

$$\sum_{i=1}^N \sum_{n=0,1}^{\infty} (-1)^n a_n^{(i)} J_{2n}(s w_i/2) f_{11}(s, \dot{\gamma}) \cos(x_{0,i}, s) + 2j \dot{\gamma} \sum_{i=1}^N \sum_{m=1,2}^{\infty} (-1)^{m+1} 2m b_m^{(i)} (J_{2m}(s w_i/2) w_i) \times f_{12}(s, \dot{\gamma}) \cos(x_{0,i}, s) = 0, \quad (19)$$

$$\dot{\gamma} s \sum_{i=1}^N \sum_{n=0,1}^{\infty} (-1)^n a_n^{(i)} J_{2n}(s w_i/2) \cdot f_{21}(s, \dot{\gamma}) \cos(x_{0,i}, s) + j \sum_{i=1}^N \sum_{m=1,2}^{\infty} (-1)^{m+1} 2m b_m^{(i)} (J_{2m}(s w_i/2) / (s w_i/2)) \times f_{22}(s, \dot{\gamma}) \cos(x_{0,i}, s) = 0,$$

где  $N$  — число щелей с каждой стороны плоскости симметрии.

Для нахождения неизвестных коэффициентов  $a_n^{(i)}$  и  $b_m^{(i)}$  и постоянной распространения  $\dot{\gamma}$  умножим первое и второе уравнение соответственно на  $(-1)^p J_{2p}(s w_i/2) \times \cos(x_{0,t}, s)$  и  $j(-1)^{q+1} 2q (J_{2q}(s w_t/2) / s w_t/2) \cos(x_{0,t}, s)$ , проинтегрируем уравнения на  $[0, \infty]$  и получим

$$\sum_{i=1}^N \sum_{n=0,1}^{\infty} a_n^{(i)} K_{p,n,i,t}^{(11)}(\dot{\gamma}) + \sum_{i=1}^N \sum_{m=1,2}^{\infty} b_m^{(i)} K_{p,m,i,t}^{(12)}(\dot{\gamma}) = 0,$$

$$\sum_{i=1}^N \sum_{n=0,1}^{\infty} a_n^{(i)} K_{q,n,i,t}^{(21)}(\dot{\gamma}) + \sum_{i=1}^N \sum_{m=1,2}^{\infty} b_m^{(i)} K_{q,m,i,t}^{(22)}(\dot{\gamma}) = 0, \quad (20)$$

где

$$K_{p,n,i,t}^{(11)}(\dot{\gamma}) = (-1)^{n+p} \int_0^{\infty} J_{2p}(s w_t/2) f_{11}(s, \dot{\gamma}) \times J_{2p}(s w_i/2) \cos(x_{0,i}, s) \cos(x_{0,t}, s) ds,$$

$$K_{p,m,i,t}^{(12)}(\dot{\gamma}) = j(4\gamma_m/w_i) \cdot (-1)^{m+p+1} (I^{12}),$$

$$I^{12} = \int_0^{\infty} J_{2p}(s w_t/2) f_{12}(s, \dot{\gamma}) J_{2m}(s w_i/2) \times \cos(x_{0,i}, s) \cos(x_{0,t}, s) ds,$$

$$K_{q,n,i,t}^{(21)}(\dot{\gamma}) = K_{p,m,i,t}^{(12)}(\dot{\gamma}),$$

$$K_{q,m,i,t}^{(22)}(\dot{\gamma}) = (-1)^{m+q+2} m q I^{22},$$

$$I^{22} = \int_0^{\infty} \left[ J_{2q}(s w_t/2) f_{22}(s, \dot{\gamma}) J_{2m}(s w_i/2) \times \cos(x_{0,i}, s) \cos(x_{0,t}, s) / s^2 w_i w_t \right] ds.$$

Из условия равенства нулю определителя системы уравнений (20) получим уравнение для нахождения  $\dot{\gamma}$ .

## Результаты расчетов

Результаты расчета вещественной и мнимой частей  $\dot{\gamma}$  представлена на рис. 3, 4. Расчеты выполнены без учета влияния экранов для структуры с параметрами  $w = d = 0.05 \text{ mm}$ ,  $d_1 = 0.34 \text{ mm}$ ,  $\varepsilon_1 = 9.5$ ,  $\varepsilon_2 = 1$ ,  $\sigma = 5 \cdot 10^7 (\Omega \cdot \text{mm})^{-1}$  на частоте  $30 \text{ GHz}$ . Параметры сегнетоэлектрической пленки (ее диэлектрическая проницаемость и толщина) могут быть объединены в произведение  $(\varepsilon d)$ . В диапазоне значений  $\varepsilon \leq 2500$  и  $d \leq 5 \cdot 10^{-3} \text{ mm}$  погрешность расчета, возникающая за счет введения этого параметра, исчезающе мала.

Зависимости постоянной распространения  $\gamma'$  и затухания  $\gamma''$  в многоселевой линии передачи от числа электродов (рис. 3,4) подтверждают исходную идею: многоселевая планарная линия передачи на основе структуры сегнетоэлектрическая пленка–диэлектрическая подложка канализирует электромагнитное поле подобно щелевой линии. При этом значения затухания, вызванные омическими потерями в электродах (в расчетах принято значение  $\sigma = 5 \cdot 10^7 (\Omega \cdot \text{mm})^{-1}$ ), в многоселевой линии и одиночной щелевой линии при сопоставимых размерах щелей близки друг к другу. Так, в одиночной щелевой линии на основе рассматриваемой структуры при  $(\varepsilon d) = 1.75 \text{ mm}$  и  $w = 0.5 \text{ mm}$   $\dot{\gamma} (\text{mm})^{-1} = 1.8 - j2 \cdot 10^{-3}$ ,

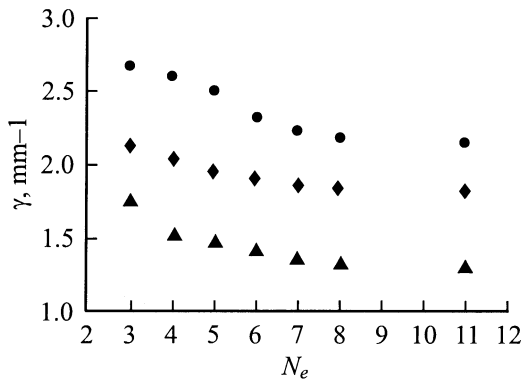


Рис. 3. Значения постоянной распространения в зависимости от числа электродов  $N_e$ .  $\varepsilon$ : ▲ — 500, ◆ — 1500, ● — 2500.

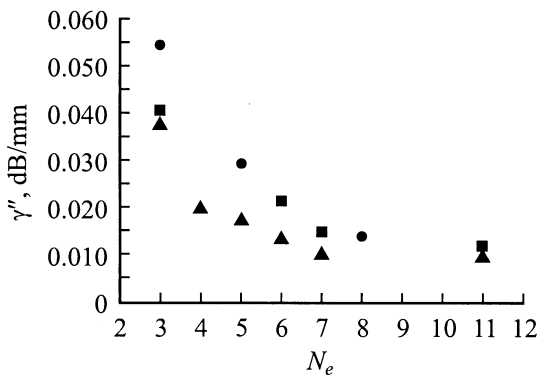


Рис. 4. Значения затухания в зависимости от числа электродов  $N_e$ . Значки — то же, что и на рис. 3.

в многоселевой линии с шестью электродами шириной  $d = 0.05 \text{ mm}$  и шириной зазора между ними, также равной  $0.05 \text{ mm}$ , при тех же параметрах диэлектрической структуры  $\dot{\gamma} (\text{mm})^{-1} = 1.9 - j2 \cdot 10^{-3}$ .

Таким образом, многоселевая планарная линия передачи на основе структуры сегнетоэлектрическая пленка–диэлектрическая подложка может быть использована при проектировании устройств с электрически перестраиваемыми характеристиками.

## Приложение

Соотношения для вычисления скалярных потенциалов имеют вид: для области  $y > 0$

$$A^{(+)}(\gamma, s) = B^{(+)} \text{sh}(\alpha_2 y) + C^{(+)} \text{ch}(\alpha_2 y),$$

где

$$B^{(+)} = \text{th}(\alpha_2 d_2) - (\alpha_0/\alpha_2) \varepsilon_2 \text{th}(\alpha_0 d_0),$$

$$C^{(+)} = (\alpha_0/\alpha_2) \varepsilon_2 \text{th}(\alpha_2 d_2) \text{th}(\alpha_0 d_0) - 1,$$

$$F^{(+)}(\gamma, s) = B_1^{(+)} \text{sh}(\alpha_2 \cdot y) + C_1^{(+)} \text{ch}(\alpha_2 y),$$

$$B_1^{(+)} = (\alpha_0/\alpha_2) - \text{th}(\alpha_2 d_2) \text{th}(\alpha_0 d_0),$$

$$C_1^{(+)} = \text{th}(\alpha_0 d_0) - (\alpha_0/\alpha_2) \text{th}(\alpha_2 d_2);$$

в области  $y < 0$

$$A^{(-)}(y, s) = \left[ B^{(-)} ((\alpha_1 \varepsilon / \alpha \varepsilon_1) - \text{th}(\alpha_1 d) \cdot \text{th}(\alpha d)) + C^{(-)} (\text{th}(\alpha d) - (\alpha_1 \varepsilon / \alpha \varepsilon_1) \text{th}(\alpha_1 d)) \right] \text{sh}(\alpha y) + \left[ B^{(-)} ((\alpha_1 \varepsilon / \alpha \varepsilon_1) \text{th}(\alpha d) - \text{th}(\alpha_1 d)) + C^{(-)} (1 - (\alpha_1 \varepsilon / \alpha \varepsilon_1) \text{th}(\alpha_1 d) \text{th}(\alpha d)) \right] \text{ch}(\alpha y),$$

где

$$B^{(-)} = \text{th}(\alpha_1 d'_1) + ((\alpha_0 \varepsilon_1 / \alpha_1) \text{th}(\alpha_0 d_0)),$$

$$C^{(-)} = (\alpha_0 \varepsilon_1 / \alpha_1) \text{th}(\alpha_0 d_0) \text{th}(\alpha_1 d'_1) + 1,$$

$$F^{(-)}(y, s) = \left[ B_1^{(-)} ((\alpha_1 / \alpha) - \text{th}(\alpha_1 d) \text{th}(\alpha d)) + C_1^{(-)} (\text{th}(\alpha d) - (\alpha_1 / \alpha) \text{th}(\alpha_1 d)) \right] \text{sh}(\alpha y) + \left[ [B_1^{(-)} ((\alpha_1 / \alpha) \text{th}(\alpha d) - \text{th}(\alpha_1 d)) + C_1^{(-)} (1 - (\alpha_1 / \alpha) \text{th}(\alpha_1 d) \text{th}(\alpha d))] \right] \text{ch}(\alpha y),$$

$$B_1^{(-)} = \text{th}(\alpha_1 d'_1) \text{th}(\alpha_0 d_0) + (\alpha_0 / \alpha_1),$$

$$C_1^{(-)} = (\alpha_0 / \alpha_1) \text{th}(\alpha_1 d'_1) + \text{th}(\alpha_0 d_0).$$

В этих соотношениях

$$\alpha_0 = (\gamma^2 + s^2 - k^2)^{1/2}, \quad \alpha_1 = (\gamma^2 + s^2 - k^2 \varepsilon_1)^{1/2},$$

$$\alpha_2 = (\gamma^2 + s^2 - k^2 \varepsilon_2)^{1/2}, \quad \alpha = (\gamma^2 + s^2 - k^2 \varepsilon)^{1/2},$$

$$d'_1 = d_1 + d.$$

## Список литературы

- [1] Вендик О.Г., Данилов И.С., Зубко С.П. // ЖТФ. 1997. Т. 67. Вып. 9. С. 94–98.
- [2] Мироненко И.Г., Иванов А.А. // Письма в ЖТФ. 2001. Т. 27. Вып. 13. С. 16–22.
- [3] Мироненко И.Г., Иванов А.А. // Письма в ЖТФ. В печати
- [4] Integrated Ferroelectrics International J. 1998. Vol. 22. С. 1420.
- [5] Gupta K.C., Garg R., Bahl I., Bhartia P. // Microstrip lines and slotlines, Boston; London: Artech, 1996. С. 535.